

فرآوری کنسانتره سولفید سرب معدن کوشک یزد به روش هیدرومتوالورژی: بررسی سینتیک اتحلال غیراکسایشی در محلولهای اسیدی *

دکتر حکمت رضوی زاده: دانشیار دانشگاه علم و صنعت ایران

علیرضا ذاکری: دانشجوی کارشناسی ارشد دانشگاه صنعتی شریف

محمد فکورفر: کارشناس شرکت ملی سرب و روی ایران

چکیده:

انحلال^۱ انتخابی گالن از یک کنسانتره سولفید سرب حاوی ۶ درصد روی در محلولهای اسید کلریدریک - کلرید سدیم در دماهای ۱۷ تا ۹۰ درجه سانتیگراد و pH از ۷/۰ تا ۱/۵ بررسی شده است. نتایج حاصل نشان می‌دهد که سولفید سرب در آغاز با سرعت زیاد و در پی آن به آهستگی حل می‌شود و بازدهی استخراج تا ۹۰ درصد بوده است در حالی که سولفیدروی تمايل زیادی به واکنش با اسید نشان نمی‌دهد و انحلال پس از چند دقیقه با بازدهی کمی به تعادل می‌رسد. افزایش اسیدیته محلول در محدوده پیشگفته، واکنش انحلال سولفید سرب را تسريع می‌کند و شدت تاثیر در مقادیر بالاتر اسید کمتر است، در حالی که انحلال سولفید سرب نسبت به غلظت اسید اساساً تفاوتی نشان نمی‌دهد. از طرفی افزایش دما تاثیر زیادی در انحلال سولفید سرب دارد ولی تغییر آن در محدوده ۵۰ تا ۹۰°C در واکنش سولفید روی چندان موثر نیست. بررسی سینتیکی انحلال اسیدی سولفید سرب نشان می‌دهد که احتمالاً نفوذ یونها از میان لایه محصول جامد، پس از چند دقیقه اول کنترل کننده واکنش انحلال است و انرژی فعالسازی ظاهری آن ۲/۷ کیلوکالری بر مول است.

۱- مقدمه
خود حل کند. با حرارت دادن این محلول و حذف NH_4 یک رسوب سولفات سرب بازی به دست می‌آورند که پس از عمل کردن CaO بر آن به وسیله عملیات احیا سرب تهیه می‌شد (۱ و ۲).

در سالیان اخیر اتحلال اکسایشی^۳ (به وسیله یونهای فریک یا کوپریک) و غیراکسایشی^۴ (به وسیله یون هیدرونیوم) کنسانتره سولفید سرب، توجه پژوهشگران را جلب کرده است.

پژوهش‌های مربوط به اتحلال غیر اکسایشی که غالباً بر استفاده از محلولهای HCl مبتنی بوده‌اند، هر چند در مقام مقایسه با روش اکسایشی بخش کمتری را به خود اختصاص می‌دهند، در مقیاس آزمایشگاهی یا نیمه صنعتی نتیجه بخش بوده‌اند و این امید وجود دارد که در آینده بتوانند به ویژه در مقیاسهای کوچک به عنوان یک فرآیند صنعتی ایفای نقش کنند (۳-۶).

روش پیرو متالورژی برای فرآوری کنسانتره سولفید سرب موجب انتشار گرد و غبار سرب و تولید گاز SO_2 می‌شود که از عوامل آلوده کننده محیط زیست به شمار می‌رond. از این رو امروزه سعی بر این است که بتوان در صنعت از فرایندهای هیدرومتوالورژی برای تولید سرب استفاده کرد. در گذشته کنسانتره سولفید را پس از عملیات تشویه توسط الکل آمینها حل می‌کردند و با عبور گاز CO_2 از محلول به دست آمده، کربنات سرب رسوب داده می‌شد که پس از تکلیس و احیای آن سرب به دست می‌آمد. این روش به علت آلوده کردن محیط زیست و سرمی بودن آن کنار گذاشته شده. پس از آن در فرآیندی دیگر، از محلول سولفات آمونیوم آمونیاکی به عنوان حلال استفاده شد. حلalیت سرب در چنین محلولی بالا است. مثلاً محلول حاوی ۲۱۰ گرم بر لیتر SO_4^{2-} و ۱۴۰ گرم بر لیتر NH_4^+ می‌تواند تا ۱۰۰ گرم سرب را در هر لیتر

* این مقاله بر اساس یک پژوهه تحقیقاتی که از سال ۱۳۶۷ در دانشکده مواد دانشگاه علم و صنعت ایران در جریان است، تنظیم شده است.

کترل کننده سرعت انحلال بوده است (۹). در مقابل از پژوهش‌های دیگر در زمینه سیتیک، انحلال جداگانه کانیهای نسبتاً خالص گالن و اسفالریت در محلولهای اسید کلریدریک در حضور عدم حضور کلرید سدیم نتیجه‌گیری شده است که برای هر دو کانی، واکنش شیمیایی در سطح، کترل کننده سرعت انحلال است و این سرعت به غلظت یون هیدروژن و کلرید شدیداً وابسته است (۱۰ و ۱۱).

مقایسه انحلال این دو معلوم داشته که انحلال اسفالریت بسیار کندر از گالن است و این اختلاف سرعت با افزایش کلرید سدیم افزایش می‌یابد. تازه‌ترین بررسی سیتیکی روی انحلال گالن در محلولهای اسید کلریدریک حاوی کلریدهای فلزی مختلف، ضمن تائید تابع قبلي (۱۰)، نشان داده است که سرعت انحلال، تابع ظرفیت کاتیون کلرید است نه نوع کاتیون و در مولاریته، ثابت کلرید هر چه ظرفیت کاتیون بالاتر باشد سرعت انحلال بیشتر خواهد بود (۱۲).

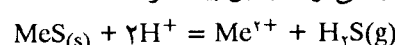
پژوهش حاضر در راستای فرآوری هیدرومالتالورژیکی کنسانترهای سولفید سرب داخلی، عملیات انحلال را به عنوان مرحله حساس هر فرآیند هیدرومالتالورژی، محور کار قرار داده است. در این مقاله تابع حاصل از بررسی رفتار انحلال اسیدی سولفید سرب و روی در حضور کلرید سدیم برای شرایط مختلف ارائه می‌شود و درباره مکانیزم احتمالی انحلال سولفید سرب در شرایط به کار گرفته شده بحث می‌شود.

۲- جنبه‌های عملی پژوهش ۲- مواد

در آزمایشها از کنسانتره سولفید سرب معدن کوشک واقع در استان یزد استفاده شده است. از این معدن با روش فلوتاسیون، دو محصول کنسانتره سولفید روی و کنسانتره سولفید سرب به دست می‌آید. مشخصات کنسانتره سولفید سرب مصرفی در جدول شماره ۱ ملاحظه می‌شود.

انحلال غیر اکسایشی یک کانی سولفیدی (MeS)

در محلولهای اسیدی را می‌توان چنین بیان کرد:



در اثر این واکنش، فلز جای یون هیدروژن را می‌گیرد و سولفید هیدروژن آزاد می‌شود. موضوع غلظت اسید که با عامل pH سنجیده می‌شود در انحلال اسیدی از اهمیت خاصی برخوردار است. اما حل شوندگی نمک فلزی جامد که در سطح سولفید تشکیل می‌شود نیز شایان توجه است. در واقع با حل شدن این نمک فلزی است که یون فلز به محلول راه پیدا می‌کند. به عنوان نمونه، از انحلال سولفید سرب در محیط سولفاتی و نیتراتی به ترتیب سولفات سرب نامحلول و نیترات سرب کاملاً محلول به دست می‌آید. این در حالی است که کلرید سرب حاصل از انحلال در محیط کلریدی، به خودی خود حل شوندگی بسیار کمی دارد، اما در حضور یون کلرید اضافی، کمپلکس‌های محلول همچون PbCl_2 تشکیل می‌شود که حلایت را بسیار افزایش می‌دهد. از این رو انحلال اسیدی سولفید سرب معمولاً در حضور مقدار زیادی یون کلرید (معمولأً با افزودن کلریدهای قلیایی و یا قلیایی خاکی) انجام می‌شود. همچنین، وقتی که انحلال مخلوط سولفیدها مطرح است، باید به اختلاف حل شوندگی نمکهای فلزی مشابه توجه کرد.

در یک بررسی که انحلال سولفیدها را در اسید سولفوریک ۱۰٪ و دمای ۱۲۰°C مطالعه کرده‌اند نتیجه شده که سولفیدهای $\text{FeS}, \text{NiS}, \text{CoS}, \text{ZnS}$ کاملاً محلول اند و $\text{CdS}, \text{Sb}_2\text{S}, \text{AS}_2\text{S}_3, \text{CuS}, \text{PbS}$ کم محلول است، در حالی که نامحلول اند و بنابراین بعضی از سولفیدها را از بعضی دیگر می‌توان جدا کرد (۷). همچنین گزارش شده است که در محلولهای اسید سولفوریک حاوی یون کلرید، سولفیدهای سرب و روی خیلی سریعتر از سولفیدهای مس و آهن حل می‌شوند (۸).

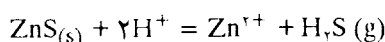
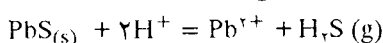
براساس مطالعات سیتیکی، اخیراً مدلی برای انحلال گالن طبیعی در محلولهای غلیظ اسید کلریدریک حاوی یون کلرید اضافی ارائه شده است که در آن نفوذ،

و بیش از ۳۰۰ دور در دقیقه در مورد اسفالریت، تاثیری روی سرعت انحلال ندارد. پژوهش قبلی ما (۱۳) در ارتباط با انحلال اکسایشی همین کنسانتره نشان داده بود که در شرایط یکسان، نهایتاً اختلاف چندانی در انحلال ذرات با اندازه‌های متفاوت وجود ندارد.

۳ - اثر اسیدیته (pH)

اثر غلظت اسید کلریدریک به عنوان حلال که با pH محلول سنجیده می‌شود در شکلهای ۱ و ۲ مشاهده می‌شود. افزایش اسیدیته در تمام مدت آزمایش، انحلال سولفید سرب را به نحو چشمگیری سرعت می‌بخشد و تاثیر آن در محدوده مورد آزمایش با کاهش pH، کمتر می‌شود. به عبارت بهتر اثری که افزایش اسیدیته از ۱/۵ pH = ۱/۰ pH بر مقدار انحلال سولفید سرب پس از ۹۰ دقیقه دارد بیش از ۴ برابر هنگامی است که pH از ۱/۰ به ۰/۷ برسد. به این ترتیب می‌توان پیش‌بینی کرد که احتمالاً مقادیر بالاتر اسید تاثیر چندانی در انحلال بیشتر نداشته باشد (شکل ۱). علت سرعت گرفتن انحلال سولفید سرب را در اثر افزایش اسیدیته می‌توان به علت وجود یون هیدرونیم و نقش آن در واکنش انحلال غیر اکسایشی دانست (۱۰ و ۱۱). در مورد سولفید روی (شکل ۲) ملاحظه می‌شود که اولاً تمایل آن به واکنش اسیدی خیلی کمتر از سولفید سرب است و ثانياً انحلال آن در محدوده آزمایشها مستقل از غلظت اسید است. در شرایط به کار گرفته شده در حالی که سولفید سرب به میزان بیش از ۹۰٪ واکنش می‌کند حل شدن سولفید روی از ۳۰٪ بالاتر نمی‌رود و پس از حدود ۱۰ دقیقه واکنش به سرعت، در کسری از مقدار نهایی خود احتمالاً به تعادل می‌رسد.

واکنشهای انحلال PbS و ZnS در محلولهای اسیدی با معادله‌های زیر بیان می‌شوند:



تغییر انرژی آزاد و ثابت تعادل این دو واکنش در دمای ۵۵°C به ترتیب چنین گزارش شده‌اند (۱۱):

جدول ۱: آنالیز شیمیایی کنسانتره سولفید سرب مصرفی

با قیمانده (%)	%S	%Fe	%Zn	%Pb
۱۸/۲۸	۱۸/۶۲	۹/۳۰	۶	۴۸

پراش سنجی اشعه ایکس این کنسانتره حاکی از وجود PbS و مقدار کمی ZnS بوده است. پس از عبور دادن کنسانتره مزبور از الکهای متفاوت، اندازه ذرات ۵۳ تا ۲۷۰ میکرون (۲۷۰ + ۷۰ - مش) برای این آزمایشها انتخاب شده و گرد NaCl بسیار خالص و اسید کلریدریک ۳٪ از محصولات کارخانه مرک آلمان برای آزمایشها به کار رفته است.

۲ - روش کار

برای هر آزمایش عملیات زیر انجام پذیرفت:

- مقدار ۲۰۰ گرم کلرید سدیم در یک بشریک لیتری محتوی مقداری آب مقطر حل شد و پس از انحلال کامل، حجم محلول به ۸۰۰ میلی لیتر رسانده شد.

- با افزودن HCl به محلول حاصل، pH در حد مورد نظر تنظیم شد.

- پس از تنظیم دمای محلول، مقدار ۱۴ گرم کنسانتره را به محلول اضافه کردیم و محلول را با یک همزن الکتریکی به هم زدیم.

- در زمانهای موردنظر، مقداری حدود ۲۰ میلی لیتر از محلول نمونه گیری شد.

- پس از رقیق کردن محلولهای نمونه برداری شده، محتوی سرب و روی محلول به وسیله دستگاه جذب اتمی اندازه‌گیری شد.

۳ - نتایج و بحث

در آزمایش‌های انحلال، سرعت همزن ۱۰۰۰ دور در دقیقه، دانه‌بندی ذرات کنسانتره ۵۳ تا ۲۷۰ میکرون و غلظت کلرید سدیم ۲۵۰ گرم در لیتر ثابت اختیار شد و سایر عوامل موثر، بررسی شد. بنابرگارشها (۱۰ و ۱۱) سرعت به هم زدن بیش از ۸۰۰ دور در دقیقه در مورد گالن

۳-۲ اثر دما

دما نقش تعیین کننده‌ای در سرعت و میزان انحلال سولفید سرب دارد شکل (۳). در دههای ۵۰ تا ۹۰ درجه سانتیگراد و شرایط آزمایش، تا حدود ۸۰ تا ۹۰ درصد از سولفید سرب پس از ۹۰ دقیقه واکنش می‌کند. البته باستی تووجه کرد که افزایش دما علاوه بر آنکه واکنش میان گالن و یون هیدرونیم را سرعت می‌بخشد، حل شوندگی مواد جامد را نیز زیاد می‌کند. اما این تغییر دما اثر مهمی بر واکنش اسیدی سولفیدروی ندارد و تنها در اثر افزایش دما از ۱۷ به ۵۵ درجه سانتیگراد افزایشی در حدود ۱۰ درصد در مقدار نهایی استخراج روی مشاهده می‌شود و واکنش انحلال در یک مدت بسیار کوتاه به سرعت در کسری از مقدار نهایی خود احتمالاً به تعادل می‌رسد (شکل ۴). اطلاعات ترمودینامیکی مبنی بر اینکه افزایش دما بر انحلال اسیدی سولفیدها باستثنای گالن تاثیر کمی دارد (۳)، موید تایج بالا است.

۳-۳ تعیین مدل سینتیکی

برای بررسی مدل سینتیکی انحلال اسیدی مستقیم سولفید سرب، و به عبارت دیگر برای تعیین مرحله کنترل کننده سرعت انحلال، می‌توان نمودار معادله‌های مربوط به مکانیزم‌های مختلف را مطالعه کرد. این معادله‌ها بر مبنای مدل توبو شیمیایی^۵ عبارت اند از:

الف - مدل نفوذ در لایه محصول جامد

$$1 - X = K_{d,t} \cdot \left(1 - \frac{X}{2}\right)^{\frac{1}{4}} \quad [1]$$

ب - مدل واکنش شیمیایی در فصل مشترک

$$1 - X = K_{s,t} \cdot \left(1 - \frac{X}{2}\right)^{\frac{1}{4}} \quad [2]$$

ج - مدل نفوذ در لایه مرزی سیال

$$X = K_{d,t} \quad [3]$$

با توجه به سه مکانیزم بالا، تایج آزمایش اثر دما بر انحلال سولفید سرب (شکل ۳) را برای سه حالت بررسی کردیم و مشاهده شد که نمودار تغییرات $k_{d,t} = k_d \cdot t^{\frac{1}{4}}$ بر حسب زمان، برای زمانهای بالاتر از پنج دقیقه، نمایانگر

$$\Delta G^\circ = 328 \text{ KJ/mol} \quad , \quad k = 1 / 78 \times 10^{-7}$$

$$\Delta G^\circ = 328 \text{ KJ/mol} \quad , \quad K = 2 / 04 \times 10^{-5}$$

با توجه به داده‌های ترمودینامیکی، قاعده‌تاً باستی ZnS بهتر از PbS حل شود در حالی که تایج آزمایش‌های سینتیکی در این پژوهش عکس آن را نشان می‌دهد. به عبارت دیگر سرعت انحلال ZnS در محلول اسید کلریدریک بسیار کندر از PbS است. علت این امر هنوز به درستی معلوم نیست و آزمایش‌های سیستماتیک در این زمینه انجام نشده است.

قبل ام جیما و همکاران (۱۱) براساس آزمایش‌های جداگانه بر روی سولفید سرب و سولفید روی طبیعی گزارش کرده‌اند که سرعت انحلال اسفالریت در محلولهای اسید کلریدریک خیلی کندر از آن گالن است. تایج ایشان که در جدول شماره ۲ گردآمده است همچنین حاکی است که اضافه کردن NaCl اختلاف سرعت انحلال این دو را باز هم بیشتر می‌کند. بر این مبنای ایشان فقط یک آزمایش را بر روی یک نمونه کنسانتره سولفیدی مخلوط حاوی ۲۸ درصد روی و ۱۸ درصد سرب انجام داده‌اند که نتیجه آن به طور کلی با تایج پژوهش حاضر که با به کارگیری یک کنسانتره سولفید سرب حاوی ۶ درصد روی، انحلال هم زمان دو سولفید فلزی را در شرایط گوناگون و در آزمایش‌های متعدد بررسی کرده است، هماهنگی دارد.

جدول ۲: سرعت واکنش‌های انحلال اسفالریت و گالن

$$(\times 10^{-8} \text{ mol/min. cm}^2)$$

در محلولهای اسید کلریدریک در دمای 55°C (۱۱)

مشخصات محلول	اسفالریت	گالن	نمونه ۱		نمونه ۲	
			نمونه ۱	نمونه ۲	نمونه ۱	نمونه ۲
۴/۰		۰/۳۸	۰/۱۳		۰/۵ M HCl	
۲۸/۴		۲/۳۵	۱/۰۶		۳ M HCl	
-		-	۰/۶۲		۰/۵ M HCl + ۳ M NaCl	
۱۴۵		-	-		۱ M HCl + ۳ M NaCl	
-		-	۳/۴۰		۲ M HCl + ۳ M NaCl	

خاصی است، زیرا این امکان را به وجود می‌آورد که با انحلال انتخابی گالن، آن را تا حد ممکن از اسفالریت جدا کنیم.

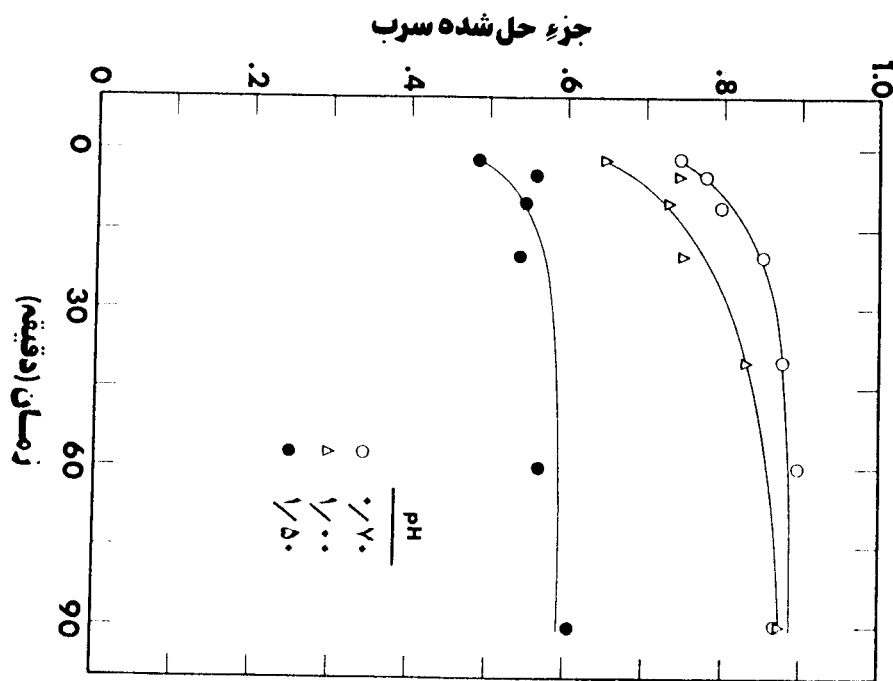
از این رهگذر دو هدف را ممکن است تعقیب کرد: استخراج هیدرومتوالورژیکی سرب از مواد سولفوره مخلوط که فرآوری آنها به روشهای معمول میسر نیست، و یا سرب زدایی از کنسانتره‌های سولفوره روی یا مواد دیگری که در آنها سولفید سرب به عنوان ناخالصی حضور دارد.

رابطه‌ای خطی است (شکل ۵)، در حالی که در نمودارهای دو مکانیزم دیگر چنین ارتباطی وجود ندارد. جهت ارزیابی درستی مدل، ثابت‌های سرعت معادله [۱] را از شب خطهای شکل ۵ محاسبه و تغییرات لگاریتم این ثابت‌ها را بر حسب عکس دمای مطلق رسم کردیم تا نمودار آرنیوس به دست آمد (شکل ۶). از این نمودار، اثری فعالسازی ظاهری، $2/7$ کیلوکالری بر مول به دست می‌آید که در محدوده کمتر از 5 کیلوکالری بر مول که در منابع (۱۴) برای مقادیر مربوط به مکانیزم کنترل نفوذی ذکر شده قرار دارد. بنابراین می‌توان نتیجه گرفت که پس از سپری شدن حدود 5 دقیقه از آغاز واکنش، انتقال جرم از میان لایه محصول جامد کندرین مرحله و بنابراین کنترل کننده سرعت انحلال است. با توجه به نتایج بالا پیش‌بینی می‌شود که پیش از آنکه کمپلکس‌های محلول کلرید سرب تشکیل شوند، احتمالاً ابتدا کلرید سرب جامد در سطح سولفید سرب به وجود می‌آید و یونها برای واکنش مجبورند از میان این لایه عبور کنند. چنین مکانیزمی برای روش انحلال اکسایشی سولفید سرب نیز مشاهده شده است (۱۵).

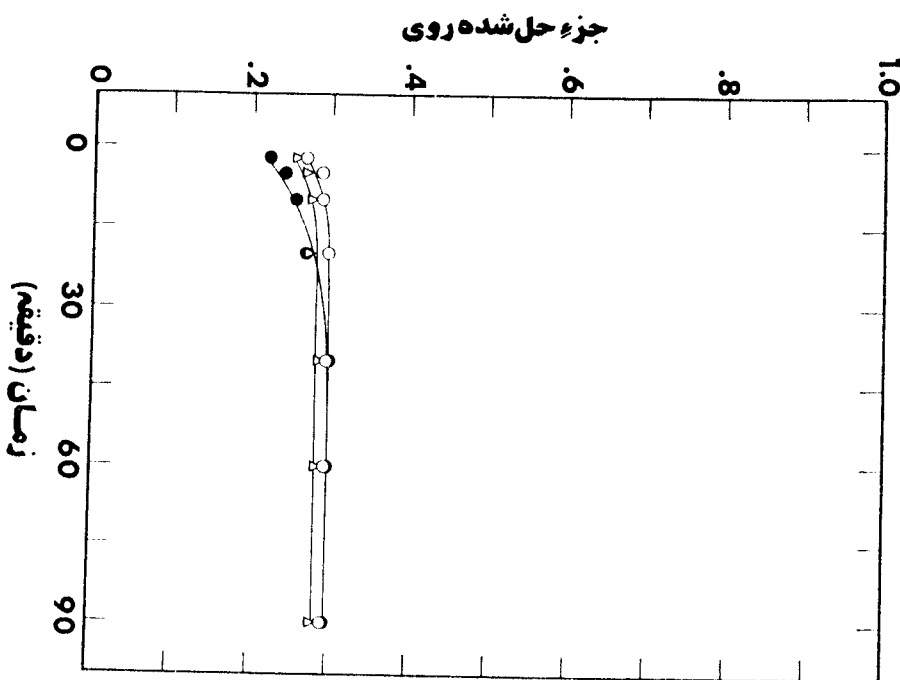
۴ - نتیجه‌گیری

این پژوهش با انتخاب یک کنسانتره سولفوره مخلوط، انحلال همزمان سولفید سرب و سولفید روی را در محلولهای اسید-کلریدیک حاوی کلرید سدیم از دیدگاه سیتیکی بررسی و مقایسه کرده است.

یافه‌های ما حاکی است که تمایل سولفید سرب به واکنش اسیدی شدید است، در حالی که انحلال سولفید روی پس از چند دقیقه با بازدهی کمی عملاً متوقف شده است. افزایش اسیدیته و دما به طور کلی اختلاف سرعت انحلال این دو کانی را باز هم بیشتر می‌کند. چنین به نظر می‌رسد که در شرایط به کار گرفته شده، سرعت انحلال سولفید سرب پس از سپری شدن دقایق نخست، با انتقال جرم از میان لایه محصول جامد، کنترل شده است. از دیدگاه کاربردی، اختلاف قابل توجه سرعت انحلال سولفید سرب و سولفید روی حائز اهمیت

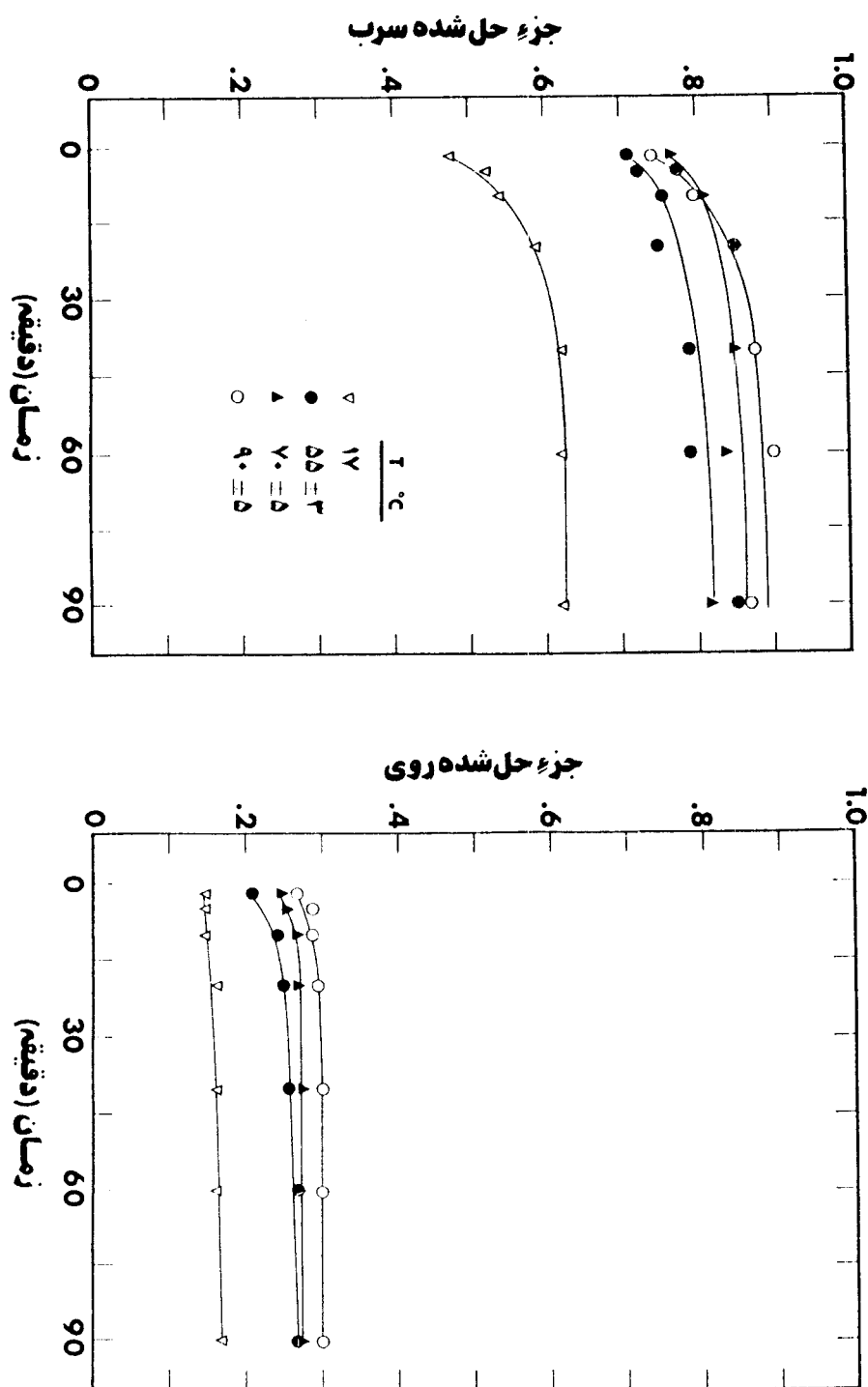


شکل ۱ - اثر اسیدیته بر اتحلال گالان



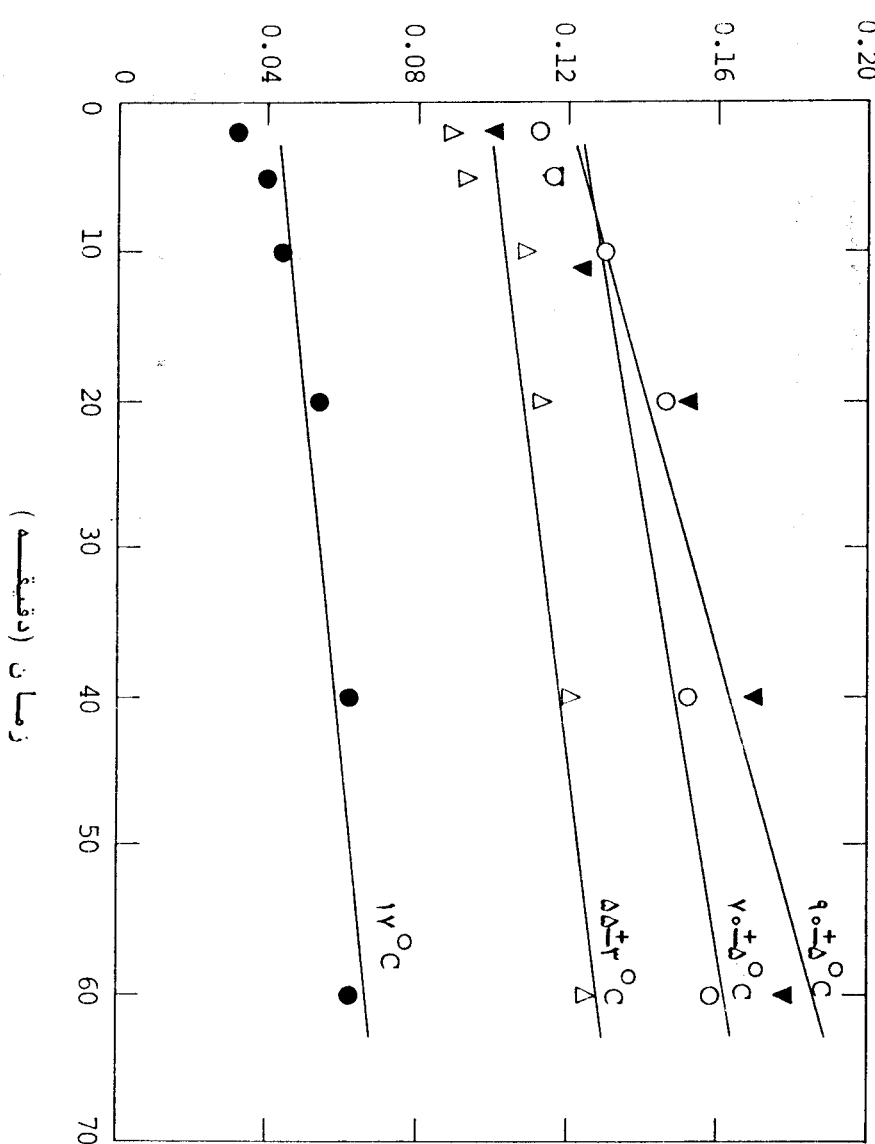
شکل ۲ : اثر اسیدیته بر اتحلال اسفالریت

شرطیه : درجه حرارت 25°C ، $\text{NaCl} = ۲۵\text{ g/lit}$ ، سرعت بهم زدن ۱۰۰ دور در دقیقه ، $\text{pH} = ۷.۰ + ۰.۵\text{ pH}$ ، اندازه ذرات $۹۰ \pm ۵\text{ }\mu\text{m}$ ، مش

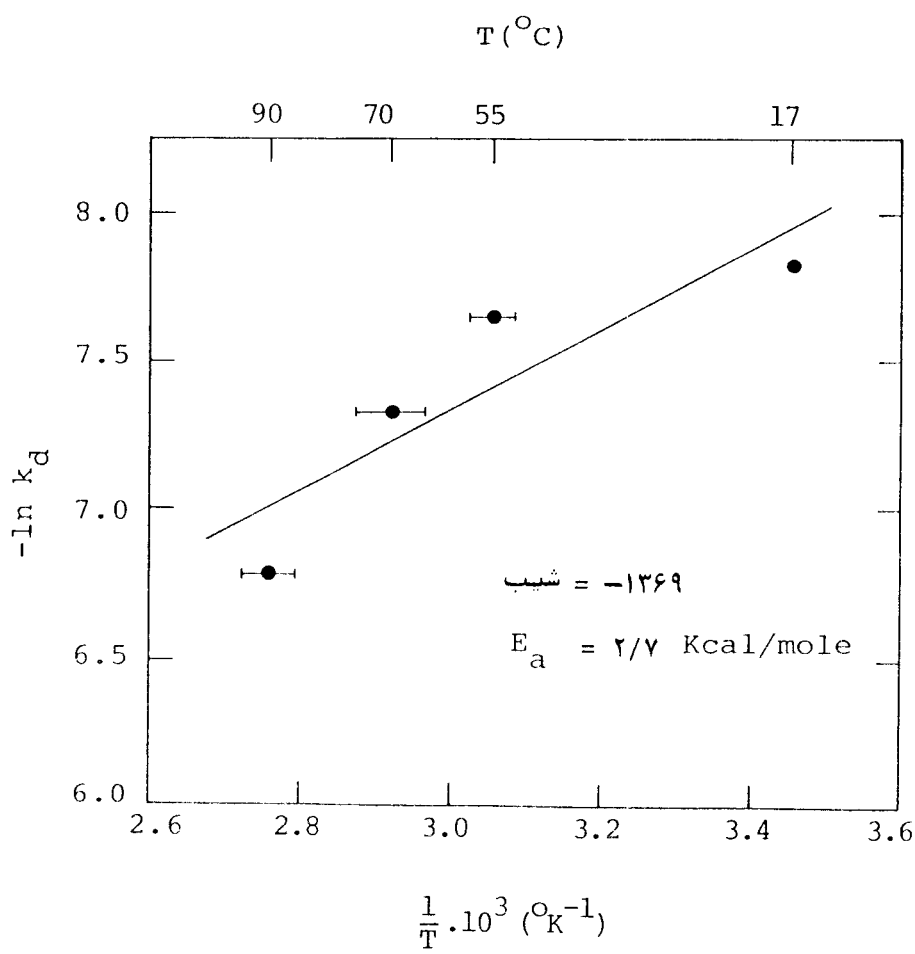


شکل ۳: اثر دما بر انتقال اسفلاریت
شکل ۴: اثر دما بر انتقال اسفلاریت

و سرعت بهم زدن ۱۰۰۰ دور در دقیقه
 $\text{NaCl} = ۲۵ \text{ g/lit}$, $\text{pH} = ۰/۷$



شکل ۵: نمودار معادله سرعت مدل شودزی لایه محصول جامد برای داده‌های شکل ۳



شکل ۶: نمودار آرنهیوس از داده‌های شکل ۵، برای تعیین انرژی فعالسازی
انحلال غیر اکسایشی گالن

فهرست منابع :

1. F.Pawlek : Metall hüttenkunde, Walter de Grugter,Berlin, 1983, p. 522.
2. D.S. Flett : Trans. Instn. Min. Metall, Sec.C. 1985, 94, pp. C 232 - C 234.
3. H. Majima and Y. Awakura :Proc. XIII th Int. Miner.Process.Congr., Warszaw , 1979, Vol, 1.pp. 665 - 689.
4. J.J.C. Jansz :Ph.D. Dissertation, Delft university of Technology, The Netherland, 1984.
- 5 . P.K.Everett :Hydrometallurgy Research, Developement and Plant Practice, TMS - AIME, 1982, pp. 165 - 173.
6. V.V. Ermilov ,D.A. Taraskin, N.S. Chemezov , G.D. Burov, and A.L. Tseft : Vestn . Akad. Nauk. Kaz SSR, 1968, 24 (11), pp. 43 - 49.
7. F. Habashi : Principles of Extractive Metallurgy, Vol, 2 (Hydrometallurgy) , Gordon and Breach , 1970, p. 98.
8. S.I. Tarabaev and N.A. Milyutina : Isvest Akad. Nauk. Kaz. SSR, Ser .Gorn .Dela, Stroimater. Metall, 1956 , no.6 ,pp. 76 - 88.
9. P.D. Scott and M.J. Nicol : Trans. Instn. Min. Metall. Sec. C, 1976, 85 ,pp. C 40 - C44.
10. Y.Awakura, S.Kamei, and H.Majima :Metall. Trans., 1980, 11 B, pp. 377 - 381.
11. H. Majima, Y.Awakura, and N.Misaki : Metall. Trans., 1981, 12B, pp. 645 - 649.
12. C.Nunez ,F. Espiell , and J.Garcia - Zayas : Metall. Trans. , 1990, 21 B,pp.11 - 17.
- 13 - حکمت رضویزاده ، علیرضا ذاکری و محمد فکورفر : مقاله در دست تهیه .
14. M.E. Wadsworth : Rate Processes of Extractive Metallurgy, Plenum, New York, 1979, p. 135.
15. G.W. Warren, S.H. Kim, and H. Henein, Metall. Trans., 1987, 18 B, p. 59 - 69.